

文章编号:1000-4025(2015)08-1506-05

doi:10.7606/j. issn. 1000-4025. 2015. 08. 1506

日本晚樱 PrseSHP 基因的克隆与功能分析

刘志雄1,2,李来运1,李凤兰2

(1长江大学 园艺园林学院,湖北荆州 434025;2 北京林业大学 生物科学与技术学院,北京 100083)

摘 要:采用同源克隆方法结合 RACE 技术,从日本晚樱($Prunus\ lannesiana$)品种'大岛樱'中克隆到花发育调控相关的 PrseSHP 基因(GenBank 登录号为 GU362645)。 PrseSHP 基因序列全长 1 223 bp,包含 1 个长 741 bp 的完整开放阅读框,编码 246 个氨基酸和 1 个终止密码子。分子系统发生分析表明,PrseSHP 属 MADS-box 转录因子的 PLE/SHP 进化系,并与蔷薇科植物的 SHP 同源蛋白聚于同一进化分支;蛋白序列比对显示,该转录因子拥有M、I、K 和 C 共 4 个结构域,且其 C 末端结构域中包含高度保守的 AG I 和 II 基序。基因表达分析表明,PrseSHP 基因主要在'大岛樱'的花瓣、雄蕊、雌蕊和幼果等器官中表达,在花萼中仅能检测到微弱的转录信号,在幼叶中不表达,与其他植物 SHP 同源基因的表达模式有一定的差别。功能分析显示,转 PrseSHP 基因拟南芥植株明显比野生型拟南芥弱小,转基因拟南芥在 6~8 片莲座叶后即抽薹开花,时间较野生型拟南芥(14~17 片莲座叶后抽薹开花)明显提前,证明异位表达的 PrseSHP 基因能促进拟南芥早花,其在花发育过程中可能参与调控植物开花。

关键词:日本晚樱;花发育;MADS-box;PrseSHP

中图分类号:Q786 文献标志码:A

Cloning and Function Identification of *PrseSHP* Gene from *Prunus lannesiana* (Rosaceae)

LIU Zhixiong^{1,2}, LI Laiyun¹, LI Fenglan²

(1 College of Horticulture and Gardening, Yangtze University, Jingzhou, Hubei 434025, China; 2 College of Biological Sciences and Biotechnology, Beijing Forestry University, Beijing 100083, China)

Abstract: Full cDNA of one MADS-box gene, *PrseSHP* with GenBank accession No. GU362645, was cloned from *Prunus lannesiana* using homologous cloning and RACE method. The full length of *PrseSHP* cDNA is 1 223 bp, containing an open reading frame(ORF) of 741 bp and coding for a polypeptide of 246 amino acid residues. Sequence and phylogenetic analyses grouped PrseSHP into PLE/SHP lineages of the MADS-box family. Conceptual translation revealed that PrseSHP contain MADS, I, K and C domains. Expression analysis suggested that *PrseSHP* expressed mainly in petal, stamen, gynoecium and young fruit of *P. lannesiana* 'Makino'. Moreover, functional analysis suggested that transgenic *Arabidopsis* was obviously dwarf, and flowering during 6—8 rosette leaves, which was early than that of wild-type *Arabidopsis* who was flowering during 14—17 rosette leaves. Ectopic expression of *PrseSHP* could obviously promote flowering of transgenic Arabidopsis. Our results suggest that *PrseSHP* are involved in flowering in Cherry Blossom.

Key words: Prunus lannesiana; flower development; MADS-box; PrseSHP

日本晚樱(Prunus lannesiana)是蔷薇科(Rosaceae)著名的观赏花木。其花色艳丽,冠型优美,品种多,适应性广,观赏价值高,被广泛用于城市园林景观建设^[1]。随着近年国内赏樱热持续升温,选育或引进名优樱花品种,增加城市园林多样性,满足人

们对人居环境日益增长的审美需求显得尤为重要。中国樱花种质资源丰富,开展樱花生殖发育调控研究,对樱花杂交育种、遗传改良和种质创新等均有较重要的意义。在拟南芥中,SHATTERPPOOF (SHP)是参与调控雌蕊、子房、胚珠和果实发育的

收稿日期:2015-05-15;修改稿收到日期:2015-07-17

基金项目:国家自然科学基金项目(31101202);长江大学博士启动基金(801190010118)。

作者简介:刘志雄(1977一),男,博士,副教授,主要从事园林植物分子育种研究。E-mail;zxliu77@yahoo.com

C类 MADS-box 基因,并具有促进角果正常开裂的 功能[2]。近年研究发现,SHP基因还参与调控植物 的胎座发育[3]。FBP6 是矮牵牛(Petunia hybrida) SHP 同源基因,其除参与调控心皮发育和果实开裂 外,还具有调控雄蕊正常发育和决定花分生组织特 征的功能[4];本氏烟草(Nicotiana benthamiana)的 SHP 同源基因 NbSHP 与 FBP6 基因功能相 似[5-6]。但在茄科植物番茄(Solanum lycopersicum)中,其SHP同源基因TAGL1仅参与调控果 皮的发育与果实的成熟,并不参与花分生组织特性 决定,也未在雌蕊中表达[6-7]。而豆科苜蓿属 (Medicago)植物中的 SHP 同源基因有参与种间荚 果形态分化的功能[8]。蔷薇科植物桃(Prunus persica)的 SHP 同源基因 PperSHP 在成熟果实中的 表达量明显升高,并且在中、内果皮明显分离的栽培 品种中表达更强[9,10]; FaSHP 为草莓(Fragaria × ananassa)的 SHP 同源基因,其表达量的减少能延 缓果实的成熟[11]。上述研究表明,不同类群被子植 物中的 SHP 同源基因,参与植物生殖发育调控的 同时,其功能伴随被子植物的演化而发生了分化。

相对模式植物和草本园艺作物而言,园林树木 童期长,生殖发育过程复杂并季节性开花,相关研究 相对滞后。本研究以日本晚樱里樱系野生单瓣品种 '大岛樱'(*P. lannesiana*'Makino')为试材,系统研 究其 *SHP* 同源基因在花和果实发育过程中的表达 模式和功能,为樱花的分子辅助育种积累资料。

1 材料和方法

1.1 材料

2009年 4~5 月采集'大岛樱'的幼叶、花芽和幼果,将雌雄蕊刚发育成熟但未开放的花蕾按花萼、花瓣、雄蕊与雌蕊分开,并将这 4 轮花器官、幼叶和幼果立即用液氮速冻,后一80 $^{\circ}$ 保存备用。

1.2 方 法

1. 2. 1 日本晚樱 PrseSHP 基因克隆 用 EASYspin 植物 RNA 提取试剂盒(北京艾德莱)提取'大岛樱'花芽总 RNA,按试剂盒说明书操作。参照文献[1]的方法合成第一链 cDNA 和 3′-RACE 扩增,3′-RACE 基因特异引物为 GSPSHP;根据获得的 3′-RACE 扩增序列设计 5′-RACE 扩增引物,利用 5′-RACE 试剂盒(Version 2.0, invitrogen 公司),参照文献[12]的方法,扩增日本晚樱 PrseSHP基因的 5′端序列,5′-RACE 的第一链 cDNA 合成引物为 GSP1SHP,第 1 次 PCR 和巢式 PCR 反应的基

因特异引物分别为 GSP2SHP 和 GSP3SHP。根据 5'-RACE 和 3'-RACE 扩增序列进行电子拼接,在 基因的 5'-UTR 和 3'-UTR 区设计克隆日本晚樱 PrseSHP 基因全长引物,验证拼接序列的真实性并分离出 PrseSHP 基因。PCR 扩增的上下游引物为 PrseSHPF 和 PrseSHPR。PCR 扩增退火温度为 $56\sim58$ $\mathbb C$ 、阳性克隆鉴定参照文献 [12]。所用引物 (表 1)均由生工生物 (上海)股份有限公司合成, DNA 由华大基因测序。

1.2.2 蛋白同源比对与分子系统发生分析 将 PrseSHP 基因编码的蛋白在 NCBI 数据库中执行 Blast 搜索与同源比对。并将 PrseSHP 转录因子同 NCBI 上 SHP 同源蛋白序列进行比较。用 MEGA5.0 软件,选邻接法(Neighbour joining,NJ) 构建分子系统发生树[13]。

1.2.3 半定量 RT-PCR 检测 PrseSHP 基因表达的 组织特异性 提取'大岛樱'幼叶、花萼、花瓣、雄蕊、雌蕊和幼果中的总 RNA,检测其质量与完整性,将其逆转录成第一链 cDNA。用半定量 RT-PCR 技术检测 PrseSHP 基因在这 6 种器官中表达的组织特异。并根据 PrseSHP 基因的特异序列设计上下游引物 RTSHPF 和 RTSHPR,进行 RT-PCR 分析之前,检测引物的特异性;以日本晚樱 Actin 基因作内参,内参引物序列和 RT-PCR 检测参考文献[14]。

1.2.4 载体构建与功能分析 将 PrseSHP 基因包含完整开放阅读框 (ORF) 的正义片段插入到 Xba I 和 Sma I 限制性酶切位点之间,并将其克隆 到表达载体 pBI121 上,构建载体的上下游引物为 TPrseSHPF 和 TPrseSHPR。将构建好的 pBI121-

表 1 引物名称及序列

Table 1 Primer name and sequences

引物名称	引物序列
Primer name	Primer sequence $(5' \rightarrow 3')$
GSPSHP	5'-ACAATGGAGTTCCCAAATCAAG-3'
GSP1SHP	5'-CCAAGATTACAGGGAGGA-3'
GSP2SHP	5'-AGGCGGCCACGGGTAGAGAAG-3'
GSP3SHP	5'-CGCTTAATCTCAATCTTGCCTCTT -3'
PrseSHPF	5'-CGCTCAACTCAACAACTAAC-3'
PrseSHPR	5'-TGGAACATCACACGGCATTC-3'
RTSHPF	5'-ACAATGGAGTTCCCAAATCAAG-3'
RTSHPR	5'-GCAGCTCGATCTCCCTCTTT-3'
TPrseSHPF	5'-CGCTCTAGAACTCAACAACTAAC-3'
TPrseSHPR	5'-TCCCGGGAACATCACACGGCATTC-3'
qactinF	5'-CGTATGAGCAAGGAGTACAC-3'
qactinR	5'-CACATCTGTTGGAAGGTGCT-3'
${\it qPrseSHPF}$	5'-GGAAGACTGGAGAAAGGGAT-3'
qPrseSHPR	5'-ATTTGTTTGCTGCTGTTGTG-3'

PrseSHP 表达载体导入农杆菌 GV3101-90 菌株, 在农杆菌的介导下,用浸花法将 35S::PrseSHP 转 入野生型拟南芥 Col-0^[15]。收获拟南芥 T₁ 代种子, 消毒除菌后置于含 50 μg/mL 卡拉霉素的 1/2MS 培养基上 4 ℃ 暗培养 24 h, 后转入 22 ℃, 光暗周 期 16 h/8 h 的温室中培养 10 d,筛选根系发育良 好,且真叶和生长点都为绿色的植物为阳性转化苗, 经炼苗、壮苗后移置到人工气候箱,待开花后进行实 时荧光定量 PCR(quantitative real time RT-PCR, qRT-PCR)鉴定,检测 PrseSHP 在转基因拟南芥中 的表达水平。作 qRT-PCR 分析时,以拟南芥 Actin 基因为内参,非转基因拟南芥为阴性对照,qRT-PCR 分析用的内参基因上下游引物为 qactinF 和 qactinR, PrseSHP 基因的上下游引物为 qPrseSH-PF和 qPrseSHPR,并观察外源基因表达量高的转 基因拟南芥表型,分析 PrseSHP 基因的功能。

2 结果与分析

2.1 PrseSHP 基因全长 cDNA 序列的克隆

同源克隆方法结合 RACE 技术,从'大岛樱'花芽中分离出 PrseSHP 基因完整 cDNA 全长。序列结构分析表明,日本晚樱 PrseSHP 基因序列 cDNA 全长为 1 223 bp,包括 264 bp 的 5′-UTR、741 bp 的 完整 ORF 和 218 bp 的 3′-UTR,编码 246 个氨基酸和 1 个终止密码子。在 NCBI 网站上执行 Blast 搜索和序列同源比对显示,其与 MADS-box 基因家族中的 SHP 进化系亲缘关系最近,命名为 PrseSHP,GenBank 登录号为 GU362645。

2.2 蛋白序列同源比对与分子系统发生分析

图 1 表明:日本晚樱 PrseSHP 与桃的 PperSHP 亲缘关系最近,同苹果的 MdMADS14 亲缘关系次之,三者同其他蔷薇科植物的 SHP 同源蛋白聚于同一进化分支,与其他科属植物的 SHP 同源蛋白分开,聚类结果支持传统经典分类学种属间的亲缘关系。蛋白序列同源比对(图 3)显示:PrseSHP 转录因子包含 1 个高度保守的 MADS 结构域,由 57 个氨基酸残基组成(16~72);1 个次级保守的 K 结构域,含 82 个氨基酸(105~186),由 K1(105~126)、K2(139~153)和 K3(161~186)3 个含疏水氨基酸残基的亚结构域[16];其 MADS 区与 K 区之间,含 1个保守性相对较低的间隔区 I 区,由 32 个氨基酸残基组成(73~104);该转录因子 C 末端结构域序列变异较大,由 60 个氨基酸残基组成(187~246),包含 2 个十分保守的 AG I 和 II 基序,属 C 类转录因

子;另外,该转录因子的 N 末端还有一段由 15 个氨基酸残基组成的延伸序列。

2.3 花器官与幼果中 PrseSHP 基因表达的半定量 RT-PCR 检测

半定量 RT-PCR 检测(图 2)显示: PrseSHP 主要在'大岛樱'的花和果中表达,在幼叶中不表达;其在花瓣、雄蕊和雌蕊中表达量高,在花萼中表达量低。且 PrseSHP 基因在'大岛樱'花瓣、雄蕊,雌蕊和幼果中的表达差异不显著(P>0.05),但其在这些器官中的转录活性均显著高于花萼(P<0.05)。

2.4 PrseSHP 基因的功能分析

为进一步验证 PrseSHP 基因在日本晚樱生殖发育过程中的功能,将 PrseSHP 基因的正义片段克隆到双元表达载体 pBI121 中,经农杆菌介导转入野生拟南芥。抗生素筛选和 qRT-PCR 鉴定(图 4)结果共获得 23 棵 35S::PrseSHP 拟南芥转基因植株,跟踪观察这些转基因拟南芥植株的表型发现,23 株转基因拟南芥中有 17 株拟南芥开花时间明显提前,占转基因植株总数的 73.9%,其在 6~8 片莲座

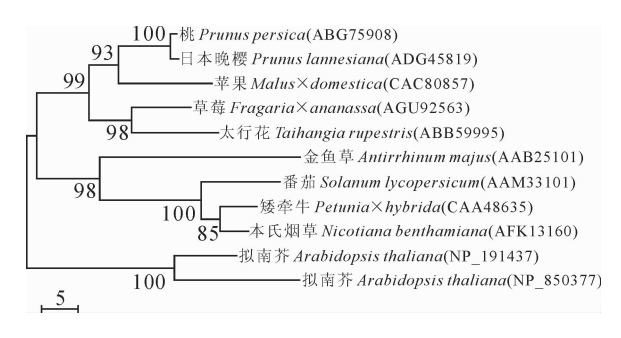


图 1 PrseSHP 同其他 SHP 同源蛋白的分子系统发生分析 括号内为氨基酸登录号;分支上的数字表示 1 000 次重复 计算获得的自展百分比;标尺代表遗传距离

Fig. 1 Phylogenetic analysis of PrseSHP with other SHP-like MADS-box proteins

Genbank accession numbers are in brackets; Numbers represent the Bootstrap percentage values calculated by 1 000 replicates; The scale bar represents genetic distance

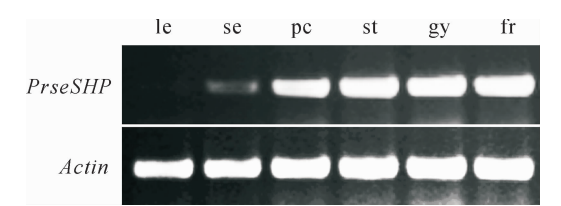


图 2 PrseSHP 基因在'大岛樱'不同器官中的表达 le. 幼叶; se. 花萼; pe. 花瓣; st. 雄蕊; gy. 雌蕊; fr. 幼果

Fig. 2 Expression analysis of PrseSHP in different organs of P. lannesiana 'Makino' le. Juvenile leaf; se. Sepal; pe. Petal; st. Stamen; gy. Gynoecium; fr. Young fruit

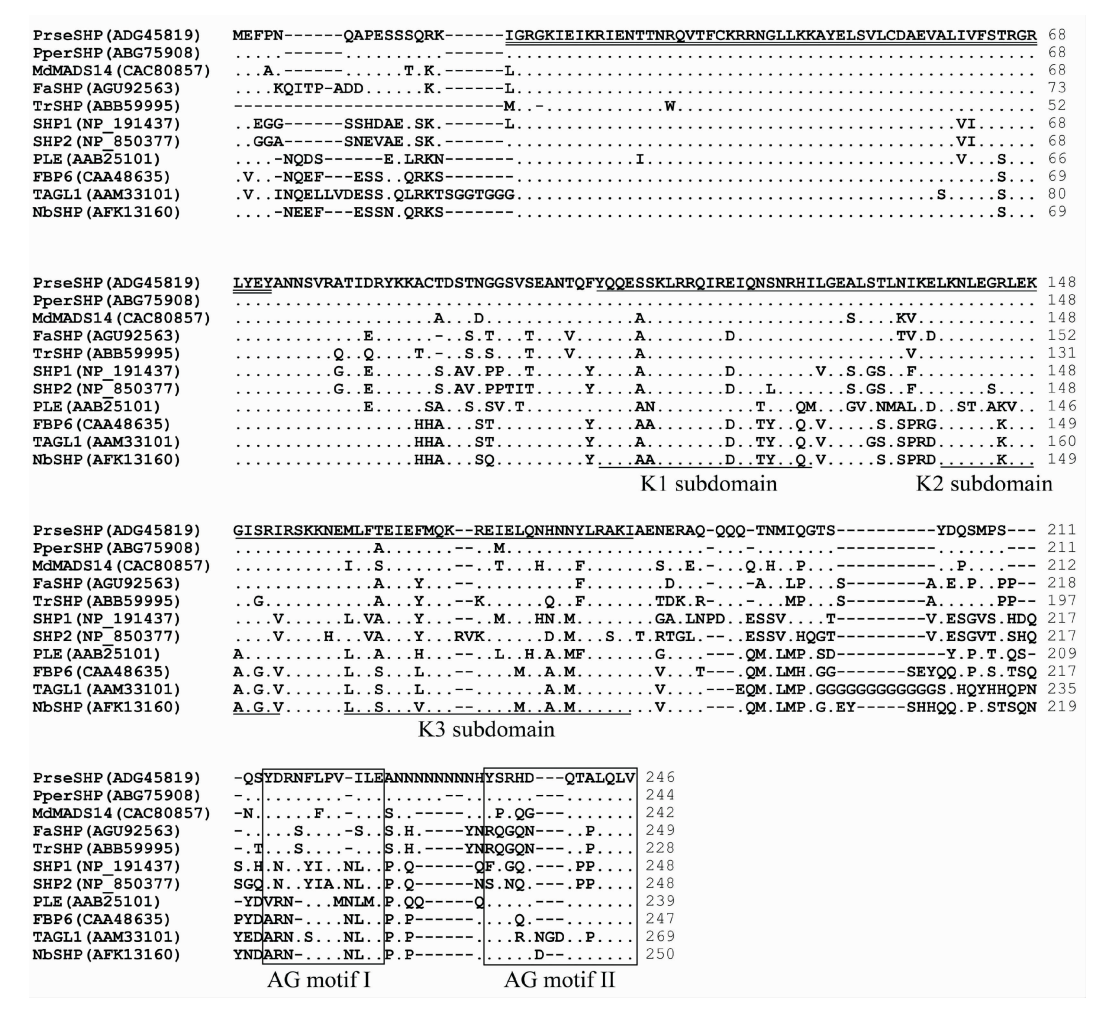


图 3 PrsesHP蛋白序列同源比对和结构分析

双下划线代表 MADS-box 区;单下划线代表 K 区;近缘蛋白中的圆点表示相同的氨基酸残基,方框中分别为 AG I 和 II 基序; 括号内为氨基酸登录号;PrseSHP. 日本晚樱;PperSHP. 桃;MdMADS14. 苹果;FaSHP. 草莓;TrSHP. 太行花; SHP1,SHP2. 拟南芥;PLE. 金鱼草;FBP6. 矮牵牛;TAGL1. 番茄;NbSHP. 本氏烟草

Fig. 3 Alignment of predicted amino acid sequence of PrseSHP with other homologous proteins sequences

The double and single underlined regions represent the MADS domain and K domain, respectively. Amino acid residues identical to PrseSHP are indicated as dots. AG-motif I and II of PrseSHP are boxed. Genbank accession numbers are in brackets; PrseSHP. Prunus lannesiana;

PperSHP. P. persica; MdMADS14. Malus × domestica; FaSHP. Fragaria × ananassa; TrSHP. Taihangia rupestris;

SHP1, SHP2. A. thaliana; PLE. Antirrhinum majus; FBP6. Petunia × hybrid; TAGL1. S. lycopersicum; NbSHP. N. benthamiana

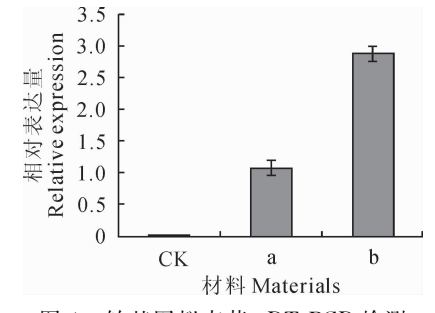


图 4 转基因拟南芥 qRT-PCR 检测 CK. 野生型拟南芥;a,b. 转基因拟南芥植株

Fig. 4 Transgenic Arabidopsis plants confirmed by qRT-PCR

CK. Wild-type Arabidopsis; a, b. Transgenic Arabidopsis



图 5 转基因拟南芥与野生型拟南芥表型比较 A. 野生型拟南芥;B·C. 转基因拟南芥

Fig. 5 Comparison of phenotypes of the wild-type and transgenic *Arabidopsis*

A. Wild-type Arabidopsis; B, C. Transgenic Arabidopsis

叶后即抽臺开花(图 5,B、C),而相同生长条件种植的野生型拟南芥要长到 14~17 片莲座叶后才抽臺 开花(图 5,A)。并且,所有转基因植株明显比野生 型拟南芥弱小,但其花器官结构未见明显改变(图 5,B、C)。说明 *PrseSHP* 基因在花发育过程中能促 进植物早花。

3 讨论

同源序列比对与分子系统发生分析表明,'大岛樱'PrseSHP属C类MADS-box转录因子的PLE/SHP进化系,并与蔷薇科植物SHP同源蛋白聚于同一进化分支。表达分析表明,PrseSHP主要在'大岛樱'的花瓣、雄蕊、雌蕊和幼果等器官中表达,在花萼中仅能检测到微弱的转录信号,在幼叶中不表达,其表达模式与其他类群植物中的SHP同源基因有一定的差异。

PperSHP 为日本晚樱近缘种桃的 SHP 同源基因,其仅在雄蕊、雌蕊和果实中表达,主要参与果参考文献:

实的发育[9];而蔷薇科另一植物太行花的 SHP 同 源基因 TrSHP 仅在发育中的雄蕊和雌蕊中表达, 随着子房中胚珠的发育,其转录活性仅局限在胚珠 中,参与调控胚珠的发育[17]。TAGL1 为茄科植物 番茄的 SHP 同源基因,在花发育过程中其主要在 雄蕊和雌蕊中表达,并且在花瓣中也能检测到微弱 的转录信号;但在果实发育过程中,其仅在果皮中表 达,参与调控果皮的发育与果实的成熟[7];FBP6 是 矮牵牛的 SHP 同源基因,其主要在雄蕊、柱头和胚 珠中表达,除参与调控雌蕊发育和果实开裂外,还参 与调控花分生组织的形成,促进植物开花[4]。可见, 不同类群植物中 SHP 同源基因除表达模式变化 外,其功能也发生了相应的分化。从日本晚樱 PrseSHP 基因的表达模式及 35S::PrseSHP 转基因 拟南芥的表型推测, PrseSHP 在发育过程中具有促 进开花和参与调控果实发育的功能,其具体的调控 机制仍有待进一步研究。

- [1] LIU ZH X(刘志雄), YU X N(于先泥). Cloning and expression analysis of a floral homeotic gene *PrseAP3* from *Prunus lannesiana*[J].

 Journal of Huazhong Agricultural University(华中农业大学学报), 2012, 31(5):578-583(in Chinese).
- [2] PINYOPICH A,DITTA GS,SAVIDGE B, et al. Assessing the redundancy of MADS-box genes during carpel and ovule development [J]. Nature, 2003, 424(6 944):85-88.
- [3] PABÓN-MORA N, WONG GK, et al. Evolution of fruit development genes in flowering plants [J]. Frontiers in Plant Science, 2014, 5:300.
- [4] HEIJMANS K, AMENT K, RIJPKEMA AS, et al. Redefining C and D in the petunia ABC[J]. The Plant Cell, 2012, 24(6):2 305-2 317.
- [5] FOURQUIN C, FERRANDIZ C. Functional analyses of AGAMOUS family members in Nicotiana benthamiana clarify the evolution of early and late roles of C-function genes in eudicots [J]. The Plant Journal, 2012, 71(6):990-1 001.
- [6] FERRÁNDIZ C. FOURQUIN C. Role of the FUL-SHP network in the evolution of fruit morphology and function [J]. Journal of Experimental Botany 2014.65(16):4 505-4 513.
- [7] VREBALOV J, PAN IL, ARROYO AJM, et al. Fleshy fruit expansion and ripening are regulated by the tomato SHATTERPROOF gene TAGL1[J]. The Plant Cell, 2009, 21(10); 3 041-3 062.
- [8] FOURQUIN C, DEL CERRO C, VICTORIA FC, et al. A change in SHATTERPROOF protein lies at the origin of a fruit morphological novelty and a new strategy for seed dispersal in medicago genus[J]. Plant Physiology, 2013, 162(2):907-917.
- [9] TADIELLO A, PAVANELLO A, ZANIN D, et al. A PLENA-like gene of peach is involved in carpel formation and subsequent transformation into a fleshy fruit[J]. Journal of Experimental Botany, 2009, 60(2):651-661.
- [10] TANI E, POLIDOROS AN, TSAFTARIS AS. Characterization and expression analysis of FRUITFULL- and SHATTERPROOF-like genes from peach(Prunus persica) and their role in split-pit formation [J]. Tree Physiology, 2007, 27(5):649-659.
- [11] DAMINATO M, GUZZO F, CASADORO G. A SHATTERPROOF-like gene controls ripening in non-climacteric strawberries, and auxin and abscisic acid antagonistically affect its expression[J]. Journal of Experimental Botany, 2013, 64(12):3775-3786.
- [12] LIU Z, ZHANG D, LIU D, et al. Exon skipping of AGAMOUS homolog PrseAG in developing double flowers of Prunus lannesiana (Rosaceae) [J]. Plant Cell Reports, 2013, 32(2):227-237.
- [13] TAMURA K,PETERSON D,PETERSON N, et al. MEGA5; molecular evolutionary genetics analysis using maximum likelihood, evolutionary distance, and maximum parsimony methods [J]. Molecular Biology and Evolution, 2011, 28(10); 2731-2739.
- [14] LIU ZH X(刘志雄), WANG Y(王 莹), LÜ X M(吕小蒙), et al. Cloning and expression analysis of a floral organ identity gene CLAP1 from Prunus lannesiana[J]. Acta Horticulturae Sinica (园艺学报), 2010, 37(4):649-654(in Chinese).
- [15] CLOUGH SJ.BENT AF. Floral dip: A simplified method for Agrobacterium-mediated transformation of Arabidopsis thaliana [J]. The Plant Journal, 1998, 16, 735-743.
- [16] YANG Y, JACK T. Defining subdomains of the K domain important for protein-protein interactions of plant MADS proteins [J]. *Plant Molecular Biology*, 2004, **55**(1):45-59.
- [17] LÜ S.DU X.LU W, et al. Two AGAMOUS-like MADS-box genes from Taihangia rupestris (Rosaceae) reveal independent trajectories in the evolution of class C and class D floral homeotic functions [J]. Evolution & Development, 2007, 9(1):92-104.